

<http://www.geojournals.cn/dzxb/ch/index.aspx>

某地云英岩化花崗岩及与其有关 矽卡岩中云母的研究

黃蘊慧 杜紹華 赵春林

某地云英岩化花崗岩及与其有关矽卡岩中的云母，过去曾分别被误认为锂云母（Lepidolite）及黑鳞云母（protolithionite）。经详细研究后，确定了过去所谓之锂云母应为铁锂云母或黑鳞-铁锂云母。而黑鳞云母除呈较宽大之脉产于条纹状矽卡岩中者为黑鳞云母或黑鳞-铁锂云母外，大部分则为金云母。

一、产 状

本文所述之云母，分为二类，即锂云母类（包括铁锂云母、黑鳞-铁锂云母及黑鳞云母）及金云母。二者分别产于云英岩化花崗岩及与其有关的条纹状矽卡岩中。前者除小部分产于花崗岩与条纹状矽卡岩之接触带中者外，大部分为花崗岩云英岩化之产物；后者则为泥盆纪白云质灰岩受该花崗岩作用蚀变而成条纹状矽卡岩时生成，此矽卡岩为花崗岩中之顶垂体。

新鲜之花崗岩呈浅灰色，全晶质，中粒状，主要由他形之石英、正长石、他形至半自形之奥长石及黑云母组成，并含有少量黄玉、萤石、磁铁矿、榍英石、金红石等。

花崗岩之上部，多受气成热液等蚀变作用，呈现不同程度之云英岩化。随着由下而上云英岩化程度之加深，黑云母即逐渐蚀变为本文所述之锂云母类，终而被锂云母类所取代。在云英岩化之同时，花崗岩亦遭受黄玉化及钠长石化，随后又遭受了不同程度的绢云母¹⁾化及高岭土化；因而，黄玉及钠长石等亦为本花崗岩的组成矿物，而与锂云母类密切共生。

残留在花崗岩中之白云质灰岩顶垂体，受花崗岩侵入影响后，遭受不同程度的蚀变，形成了典型的矽卡岩及条纹状矽卡岩。根据其与花崗岩接触之部位及变质深度，由近而远可分为以下几带：

1. 花崗岩边缘带 花崗岩与灰岩接触之边缘部分，局部地区见有脱硅现象。

2. 符山石-柘榴子石矽卡岩带 主要由晶体较粗大之红褐色铁铝柘榴子石、褐黄色钙铝柘榴子石、锰铝柘榴子石及花束状棕绿色符山石组成，萤石及方解石次之。

3. 磁铁矿条纹矽卡岩带 黑褐色或暗褐色，致密块状。细粒磁铁矿排列成褶皱弯曲且相互平行之条纹，与由较淡颜色之矿物（柘榴子石、萤石、符山石、透辉石、铁锂云母（？）、普通角闪石、浅闪石及少量或微量粒硅镁石、绿帘石、绿泥石、沸石、石英、白钨矿、绢云母等）组成之部分相间排列，且往往形成同心圆状构造。

1) 选取化学分析及物理光学测定样品时已将绢云母去除。

4. 綠色條紋砂卡岩帶 綠至灰綠色，致密塊狀。極細小之鐵鎂-鎂尖晶石、塔菲石、尼日利亞石等綠色礦物組成之條紋與由氟硼鎂石、螢石、金云母、雙晶石（？）、白雲石、方解石、粒硅鎂石及少量或微量磷灰石、白鈸礦等淡色礦物所組成之條紋相間排列，條紋細而密集，沿結晶粗大之黑鱗-鐵鋰云母及黑鱗云母脈二側分布，密集程度一般與云母脈之寬度成正比，離云母脈漸遠，條紋即漸行稀疏，而逐漸變為大理岩，如此重複出現，即構成本條紋岩體（簡稱綠色條紋岩）。本文所述之金云母主要產於此岩中。

5. 白色條紋砂卡岩 淡黃白至灰白色，致密塊狀。由白色尖晶石及金綠寶石組成之條紋與由螢石、氟硼鎂石、金云母、雙晶石（？）、白雲石、方解石、粒硅鎂石等組成之條紋相間排列，條紋細而密集，褶皺而彎曲，亦常形成同心圓狀；其中，藍灰色電氣石細脈較發育。

二、物理光學性質

（一）鋰云母類

鋰云母類的物理光學性質見表 1。

表 1

編號	名稱	特 徵	多 色 性			(-)2V	折 光 率			重折率	比重	產 狀
			N_p	N_m	N_g		N_p	N_m	N_g			
1	鐵鋰 云母	淺灰黃色，細小鱗片狀，絹絲光澤	淡棕黃	淡灰綠	淡棕黃	26—29°	1.552	1.581	1.582	0.030		云英岩化花崗岩中
2		淺灰黃色，細小鱗片狀，絹絲光澤	淡綠	淡綠	淡綠	25—28°	1.552	1.586	1.587	0.035	3.02	云英岩化花崗岩中
3		金黃色，片狀，絹絲光澤	淡黃	淡灰綠	淡灰綠	25—28°	1.555	1.585	1.588	0.033	3.01	云英岩化花崗岩中
4		淡灰綠色，片狀，絹絲光澤	淡黃	淡灰綠	淡灰綠	29—31°	1.555	1.582	1.588	0.033	3.02	云英岩化花崗岩中
5		淺黃灰色，鱗片狀，絹絲光澤	淡黃	淡綠	淡綠	22°	1.557	1.588	1.591	0.039	3.05	云英岩化花崗岩中
6		淺灰黃色，細鱗片狀，絹絲光澤	淡棕	淡灰綠	淡灰綠	24—27°	1.554	1.577	1.584	0.030	3.06	云英岩化花崗岩中
7		灰白色，片狀，絹絲光澤	淡黃	淡灰綠	淡灰綠	16—29°	1.556	1.586	1.587	0.031	3.04	云英岩化花崗岩中
8		無色至稻草黃色，片狀，絹絲光澤	淡黃	淡灰綠	淡灰綠	15—24°	1.557	1.585	1.585	0.028	3.05	云英岩化花崗岩中
9		灰白色，細鱗片狀，絹絲光澤	淡黃	淡黃	淡綠	17—31°	1.555	1.577	1.587	0.032	3.04	云英岩化花崗岩中
10	黑鱗 鐵鋰 云母	淺灰黃色，細小鱗片狀，絹絲光澤	淡黃綠		淡灰綠	20—25°	1.561	1.586	1.594	0.033	3.08	云英岩化花崗岩中
11		淺灰黃色，細鱗片狀，絹絲光澤	淡棕黃	淡灰綠	淡棕黃	3—5°	1.557	1.5865	1.5870	0.030		花崗岩中 囊狀体
12		淺灰白色，細鱗片狀，絹絲光澤	淡黃	淡灰綠	淡灰綠	30°	1.562	1.585	1.592	0.030		花崗岩中 囊狀体
13		暗黃色，片狀，絹絲光澤	淡黃 無色	淡藍綠	淡藍綠	20°	1.564	1.583	1.594	0.030	3.05	接觸帶花 崗岩中
14		暗綠色，細鱗片狀，絹絲光澤	淡黃綠	淡灰黃	淡灰黃	29°—30°	1.5561	1.583	1.594	0.0379	3.02	綠色條紋岩的 錫石云母脉
15	黑鱗 云母	灰黃色，大叶片狀，解理發育，絹絲光澤	淡黃綠	淡灰	淡灰	15°	1.565	1.588	1.596	0.031	3.05	花崗岩與灰岩 之接觸帶中
16	黑鱗 云母	深灰綠色，細鱗片狀，絹絲光澤	淡黃綠	淡灰	淡灰	0°—5°	1.552	1.578	1.579	0.027	2.94	綠色條紋岩中 之細網脉中

將鋰云母類的物理光學性質，如比重、折光率 N_g 、 N_p 等投于 A. N. 文契爾 (1942)^[1]

所作“鋰云母类的性質”图中，知本区之鋰云母类分布在綠色条紋矽卡岩中者（如編號 14、16）为黑鱗-鐵鋰云母与黑鱗云母、而云英岩化花崗岩中之云母則除編號 10、11、12、13 为黑鱗-鐵鋰云母外，其他均为鐵鋰云母（图 1）。

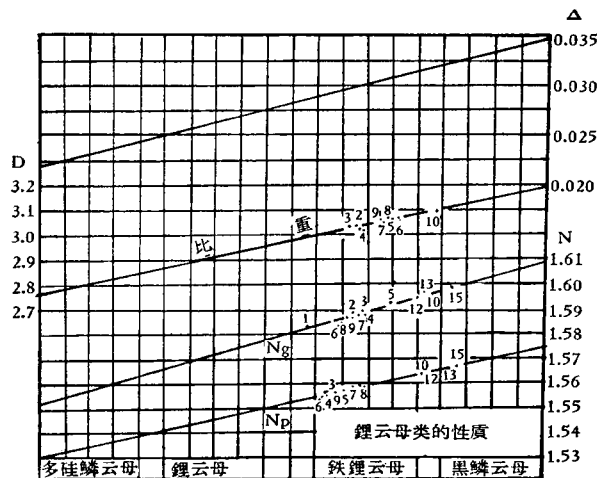


图 1

(二) 金云母类

金云母之物理光学性質見表 2。

表 2

编号	特征	多色性			(-)2V	折光率			重折率	比重	产状
		N_p	N_m	N_g		N_p	N_m	N_g			
17	极淡的灰綠色，细小 鱗片状	淡棕黃	淡灰綠	淡褐黃	0—5°	1.540	1.573	1.573	0.033	2.89	綠色条紋岩中
18	极淡的灰綠色，细小 鱗片状，绢絲光泽	淡棕黃	淡綠色	淡褐色	0—13°	1.540	1.573	1.573	0.033	2.89	綠色条紋岩中
19	深綠色，细小鱗片状， 绢絲光泽	淡棕黃	淡灰綠	淡棕黃	0—10°	1.552	1.580	1.582	0.030	2.94	綠色条紋岩中
20	淡灰綠色，细小鱗片 状，绢絲光泽	淡棕黃	淡灰綠	淡棕黃	0—9°	1.540	1.573	1.573	0.033	2.94	綠色条紋岩中
21	淡綠灰色，细小鱗片 状，绢絲光泽	淡棕黃	淡灰綠	淡棕黃	0°	1.540	1.573	1.573	0.033	2.95	白色条紋岩中 与白花石共生
22	綠色，细小鱗片状， 绢絲光泽	淡棕黃	淡灰綠	淡棕黃	0—30°	1.557	1.580	1.582	0.025	2.956	綠色条紋岩中

三、化学成分

(一) 鋰云母类

鋰云母类之化学成分及其結晶化学計算見表 3。将各种氧化物之重量百分比按氧原子为 24 算出各元素之原子数后，得出鋰云母类的化学分子式如表 4。

将表 4 中云母之分子式与金茲堡及別爾赫 (Гинзбург А. И. и Берхин С. И. 1955)^[2] 所划分的二大成因之鋰云母相較，本区之鋰云母与由 Li Al 置換黑云母中 Fe、Mg 而形

成的锂云母类(見表 5)基本一致(編號 14、15、16 之成因另論)。

根据金茲堡等之三角图解, 将 Li, R'' (Fe, Mg, Ca, Mn^{''}……), Al (Al' + Fe'') 的原子数(将滿足各化学式后多余之 Al 減去)換算成 100, 求出 Li, R'', 及 Al 的原子数各占百分比后, 填入图 2^[2], 得出本文所述云母在三角形中之位置, 此位置大致与图中鐵锂云母(циннвальдит)及黑鱗云母(протолитионит)或其間之位置相当。

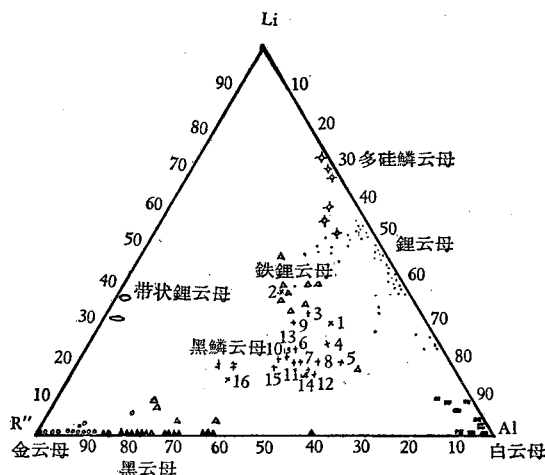


图 2
+本文所描述之锂云母

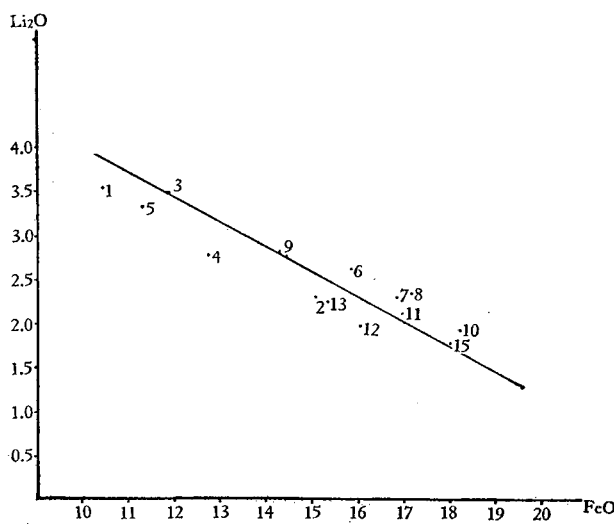
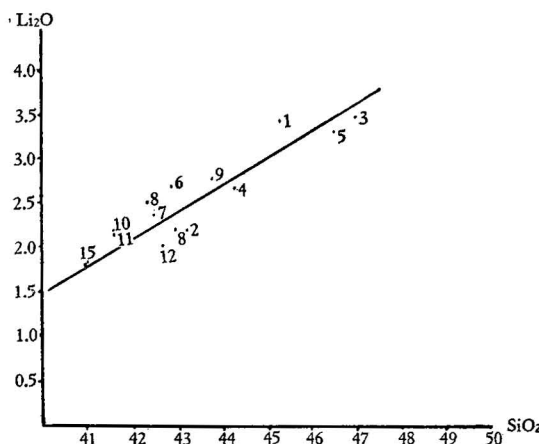


图 3 锂云母类 FeO 与 Li₂O 含量关系图

由表 3,4 及图 2 可以看出, 本文所述之锂云母类虽属同一种类, 但各云母之主要成分(SiO₂、Al₂O₃、FeO、Li₂O 等)之含量仍略有出入。而由于 Li₂O 的增高, FeO 的含量一般隨之降低(图 3), SiO₂ 之含量則隨之增加(图 4)。

綜合上述十几个锂云母类的分析資料, 可看出該区的锂云母类具有一定的特殊性质,

图4 锂云母类 Li_2O 与 SiO_2 含量关系图

即其铁的含量较高，是与由白云母转变而成的锂云母类不同之处。随着铁含量的降低， Li_2O 与 SiO_2 发生有规律的增高，这种现象可以这样解释：即 Li 、 Al 等元素应为后来进入到原始云母（应为黑云母）的格架中进行异价类质同象置换作用，置换了 Fe 、 Mg 的结果，而价的补偿则由 Si 置换其原始成分中的 Al 来完成。例如表 4 中的 2 号铁锂云母，分子式为 $\text{K}_4\text{R}_4''\text{Li}_3\text{Al}_4[\text{Si}_{13}\text{Al}_3\text{O}_{40}](\text{OH}\cdot\text{F})_8$ ，应系由 $\text{K}_4\text{R}_8''\text{Al}_3[\text{Si}_{11}\text{Al}_5\text{O}_{40}](\text{OH})_8$ 型铁—镁质云母中的四个 R'' 被三个 Li ，一个 Al 置换而成，此时，价的补偿则由括号中的二个 Al 被二个 Si 置换来完成^[5]。

根据 Fe 、 Mg 被 Li 、 Al 置换程度的深浅，与 R'' 、 Li 、 Al 、 Si 、 F 、 (OH) 等元素原子数比例的多少计算，本文所述锂云母类之分子式大致位于金兹堡等分类表中黑鳞云母、黑鳞云母与铁锂云母之间或铁锂云母部位，而以后者占大多数。原始的 $\text{Fe}-\text{Mg}$ 质云母应有二种类型。即：

- ① $\text{K}_4\text{R}_9''\text{Al}_2[\text{Si}_{12}\text{Al}_4\text{O}_{40}](\text{OH})_8$ 型及
- ② $\text{K}_4''\text{R}_8''\text{Al}_3[\text{Si}_{11}\text{Al}_5\text{O}_{40}](\text{OH})_8$ 型。

置换后，形成五种不同成分的锂云母类，即：

- ① $\text{K}_4\text{Fe}_3''\text{Li}_4\text{Al}_4[\text{Si}_{14}\text{Al}_2\text{O}_{40}](\text{O}, \text{OH}, \text{F})_8$
- ② $\text{K}_4\text{Fe}_4''\text{Li}_3\text{Al}_4[\text{Si}_{13}\text{Al}_3\text{O}_{40}](\text{O}, \text{OH}, \text{F})_8$
- ③ $\text{K}_4\text{Fe}_5''(\text{Li}_{2.5}\text{Al}_{1.5})_4\text{Al}_2[\text{Si}_{13}\text{Al}_3\text{O}_{40}](\text{O}, \text{OH}, \text{F})_8$
- ④ $\text{K}_4\text{Fe}_4''(\text{Li}_{2.5}\text{Al}_{0.5})_3\text{Al}_4[\text{Si}_{12}\text{Al}_4\text{O}_{40}](\text{O}, \text{OH}, \text{F})_8$
- ⑤ $\text{K}_4\text{Fe}_5''\text{Li}_2\text{Al}_4[\text{Si}_{12}\text{Al}_4\text{O}_{40}](\text{ON}, \text{OH}, \text{F})_8$
- ⑥ $\text{K}_4\text{R}''(\text{Mg}, \text{Fe})_8\text{Li}_2\text{Al}_2[\text{Si}_{12}\text{Al}_4\text{O}_{40}](\text{OH}, \text{F})_8$

此六种新生锂云母类型的第①种，基本上与金兹堡等论文中（见表 5）由 $\text{K}_4\text{R}_9''\text{Al}_2[\text{Si}_{12}\text{Al}_4\text{O}_{40}](\text{OH})_8$ 型铁镁质云母（黑云母）转变而成的 $\text{K}_4\text{R}_3''\text{Li}_4\text{Al}_4[\text{Si}_{14}\text{Al}_2\text{O}_{40}](\text{OH}, \text{F})_8$ 型铁锂云母一致。此时，原黑云母分子式中的 R'' 被六个（ Li ， Al ）（其中有四个 Li ，二个 Al ）进行了异价类质同象的置换，价的不平衡，由括弧中的二个 Si 置换了二个 Al 来补偿。此类型的铁锂云母以编号 1 和 3 为代表（见表 4）。

第②种类型的锂云母，基本上与表 5 中由 $K_4R''_8Al_3[Si_{11}Al_5O_{40}](OH)_8$ 型铁镁质云母(黑云母)转变而成的 $K_4R''_4Li_3Al_4[Si_{12}Al_4O_{40}](OH,F)_8$ 型铁锂云母一致。此时，原黑云母分子式中的 R''_8 被四个(Li, Al)(其中有三个 Li, 一个 Al)进行了异价类质同象的置换，价的不平衡，由括弧中的二个 Si 置换二个 Al 来补偿。此类型的铁锂云母以编号 2、4、5、6、7、8、9 为代表，为本区云英岩化花岗岩中的主要云母类型(见表 4)。

第③种类型的锂云母，基本上介于表 5 中由 $K_4R''_9Al_2[Si_{12}Al_4O_{40}](OH)_8$ 型黑云母转变而成的 $K_4R''_5Li_2Al_4[Si_{12}Al_4O_{40}](OH,F)_8$ 型黑鳞云母与 $K_4R''_5Li_3Al_3[Si_{14}Al_2O_{40}](OH,F)_8$ 型铁锂云母之间，为其过渡类型。其中，原铁镁质云母(黑云母)成分中的 R''_9 被四个(Li, Al)(其中有 2.5 个 Li, 1.5 个 Al)进行了异价类质同象的置换，价的补偿由括弧中的 Si 置换 Al 来完成。此种类型的锂云母以编号 10、11、13 为代表(见表 4)。

第④种，基本上介于表 5 中由 $K_4R''_8Al_3[Si_{11}Al_5O_{40}](OH)_8$ 型铁镁质云母(黑云母)转变而成的 $K_4R''_4Li_2Al_5[Si_{11}Al_5O_{40}](OH,F)_8$ 型黑鳞云母与 $K_4R''_4Li_3Al_4[Si_{13}Al_3O_{40}](OH,F)_8$ 型铁锂云母之间，为其过渡类型，原铁镁质云母中的 R''_8 被四个(Li, Al)所置换(其中有 2.5 个 Li, 1.5 个 Al)，价的补偿则由括弧中的 Si 置换 Al 来完成。此种类型的锂云母以编号 12 为代表(见表 4)。

与金兹堡等所导出之理论分子式相较，本区锂云母类之成分，一般很难与某一理论分子式相吻合。另一方面，当 K, R'', Li, Si, (OH, F) 等按比例配合后，常有 Al, Si 与(O, OH, F) 的轻微富余，推其原因，应系粒度较细之黄玉常呈包裹体状态存在于云母晶体或与云母密切共生，不易洗净之故(纯度为 98% ±)。黄玉的分子式为 $Al(F, OH)_2AlSiO_4$ ，而许多云母之分子式配好后剩余的 Al, Si(O, OH, F) 等都恰好与此式中各元素之比相吻合。

至于绿色条纹砂卡岩中之宽大锂云母脉，即第⑤⑥种类型，属黑鳞云母之范畴。与金兹堡等的由金云母—黑云母至锂云母类的含锂云母过渡系列相较^[5]此黑鳞云母则有两种类型，一为仅含微量 MgO 的，相当于表 5 中 $K_4R''_5Li_2Al_4[Si_{12}Al_4O_{40}](OH,F)_8$ 型的黑鳞云母，即第⑤种类型，一则为含大量 MgO 的，大致相当于表 5 中由 $K_4R''_9Al_2[Si_{10}Al_6O_{40}](OH,F)_8$ 型富镁黑云母—铁叶云母演变而成的 $K_4R''_8Li_2Al_2[Si_{12}Al_4O_{40}](OH,F)_8$ 型黑鳞云母。此类锂云母(类)脉多沿灰岩顶垂体的一组近东西向(N 80° W)之节理分布，此节理应为花岗岩与灰岩接触时，花岗岩内物质进入灰岩之通路。根据一般理论认为 Li, Fe'', Fe''' 等常分别呈 FeF_3 、 FeF_2 、 $LiF^{[6]}$ 等形态(亦有 H_2O)，由于韵律性扩散作用经此通路进入到灰岩之中，与白云质灰岩中的 Mg, Ca, Al(灰岩中常有泥质页岩夹层，在一个灰岩蚀变而成之大理岩的分析中， Al_2O_3 含量高达 14.60%)结合，而生成了塔菲石、氟硼镁石、尖晶石、金云母、 α -锂霞石等一系列矿物。而根据花岗岩本身，尤其是花岗岩上部，锂矿物(铁锂云母、黑鳞-铁锂云母)含量较多之趋势，可以推知，被挥发分 F 等携带而上升之锂，大部分应在砂卡岩形成之前即已析出，进入到云母之格架中，交代了 R''(主要为 Fe'') 而沉淀下来。至绿色条纹岩形成阶段，锂已剩余无多，而仅在通路之中或通路的附近形成了含锂云母脉。同时，按空间分布位置看来，富含 MgO 的黑鳞云母较其他类型的锂云母类距节理较远些，而更深入条纹岩之夹层——白云质大理岩部分，因此易于吸收一部分镁，组成了自身的组份。

表 4

编 号	名 称	分 子 式	原 始 云 母 类 型		蚀 变 后 新 生 云 母类 型		
			K ₄ R ₈ 'Al ₄ [Si ₂ Al ₄ O ₄](OH) ₈	K ₄ R ₈ 'Al ₈ [Si ₂ Al ₈ O ₄](OH) ₈	K ₄ R ₄ 'Li ₄ Al ₄ [Si ₂ Al ₄ O ₄](OH,F) ₈	K ₄ R ₄ 'Li ₈ Al ₈ [Si ₂ Al ₈ O ₄](OH) ₈	K ₄ R ₄ 'Li ₈ Al ₈ [Si ₂ Al ₈ O ₄](OH,F) ₈
1	铁锂云母	KFe _{0.9} Li _{0.05} Al _{1.75} Si _{2.05} O _{10.5} (O,OH,F) ₂	✓				
2	铁锂云母	KFe _{1.07} Li _{0.06} Al _{1.11} Si _{2.08} O _{10.74} (O,OH,F) ₂		✓			
3	铁锂云母	KFe _{0.88} Li _{1.00} Al _{1.08} Si _{2.07} O _{10.88} (O,OH,F) ₂			✓		
4	铁锂云母	KFe _{0.91} Li _{0.77} Al _{1.01} Si _{2.09} O _{9.71} (O,OH,F) ₂				✓	
5	铁锂云母	KFe _{0.89} Li _{1.01} Al _{1.04} Si _{2.08} O _{10.91} (O,OH,F) ₂					✓
6	铁锂云母	KFe _{1.11} Li _{0.88} Al _{1.88} Si _{2.05} O _{10.41} (O,OH,F) ₂					
7	铁锂云母	KFe _{1.07} Li _{0.77} Al _{1.09} Si _{2.05} O _{9.91} (O,OH,F) ₂					
8	铁锂云母	KFe _{1.11} Li _{0.77} Al _{1.05} Si _{2.05} O _{10.28} (O,OH,F) ₂					
9	铁锂云母	KFe _{0.98} Li _{0.05} Al _{1.93} Si _{2.03} O _{10.38} (O,OH,F) ₂					
10	黑鳞-铁锂云母	KFe _{1.28} Li _{0.06} Al _{1.08} Si _{2.04} O _{10.38} (O,OH,F) ₂	✓				
11	黑鳞-铁锂云母	KFe _{1.20} Li _{0.06} Al _{1.10} Si _{2.04} O _{10.45} (O,OH,F) ₂					
12	黑鳞-铁锂云母	KFe _{1.18} Li _{0.02} Al _{1.01} Si _{2.08} O _{10.48} (O,OH,F) ₂					
13	黑鳞-铁锂云母	KFe _{1.24} Li _{0.06} Al _{1.02} Si _{2.07} O _{10.43} (O,OH,F) ₂	✓				
14	黑鳞-铁锂云母	KFe _{1.00} Li _{0.06} Al _{1.06} Si _{2.05} O _{10.55} (O,OH,F) ₂					
15	黑鳞云母	KFe _{1.08} Li _{0.54} Al _{2.8} Si _{2.09} O _{11.43} (O,OH,F) ₂	✓				
16	黑鳞云母	KR ₈ "(Fe,Mg) _{2.08} Li _{0.08} Al _{1.69} Si _{2.05} O _{10.54} (O,OH,F)					

表 5 由金云母—黑云母至锂云母的含锂云母过渡系列
(据 A. V. 金茲堡)

表 6

编 号	SiO ₂				Al ₂ O ₃				FeO				K ₂ O				Na ₂ O				Li ₂ O				
	分子数	重量(%)	阳原离子数	换算阳原离子数为24子数	分子数	重量(%)	阳原离子数	换算阳原离子数为24子数	分子数	重量(%)	阳原离子数	换算阳原离子数为24子数	分子数	重量(%)	阳原离子数	换算阳原离子数为24子数	分子数	重量(%)	阳原离子数	换算阳原离子数为24子数	分子数	重量(%)	阳原离子数	换算阳原离子数为24子数	
17	35.77596	1224	612	5.11	17.45	172516	344	2.95	2.37	33	33	0.28	9.83	104104	208	1.79	0.26	4	8	0.07					
18	36.70611	1222	611	6.03	19.21	188564	376	3.71	2.74	38	38	0.37	9.88	105105	210	2.07	0.29	5	5	0.10					
19	38.80646	12292	646	6.25	15.60	153459	306	2.96	4.10	57	57	0.55	9.78	104104	208	2.01	0.68	11	11	0.21	0.22	7	7	0.15	
20	35.36589	1178	589	5.28	20.00	196588	392	3.51	3.20	44	44	0.39	10.06	107107	214	1.92	0.23	4	4	0.04					
21	38.08634	1268	634	5.49	16.32	160480	320	2.77	7.02	88	88	1.52	9.05	96	192	1.66	0.65	19	19	0.33	0.40	14	14	0.17	
22	40.14668	1336	668	5.89	14.84	145435	290	2.57	4.68	58	58	0.52	9.65	103103	206	1.82	0.43	13	13	0.23					
编 号	MgO				MnO				H ₂ O ⁺				CaO				F				TiO ₂ 为失 重量				
	分子数	重量(%)	阳原离子数	换算阳原离子数为24子数	分子数	重量(%)	阳原离子数	换算阳原离子数为24子数	分子数	重量(%)	阳原离子数	换算阳原离子数为24子数	分子数	重量(%)	阳原离子数	换算阳原离子数为24子数	分子数	重量(%)	相氯阴离 当量的量	换算阳原 离子数为24子 数	分子数	重量(%)	阳原离子数	换算阳原离子数为24子数	
17	27.25676	676	5.77	0.15	2	2	0.02	2.00	111111	222	2.16						3.45	1.45	181	1.76		1.65	98.73		
18	25.32628	628	628	6.20	0.15	2	2	0.02	2.00	111111	222	2.19					4.28	1.80	225	2.22		0.95	99.72		
19	23.13573	573	5.55	0.63	8	8	0.08	0.84	46	92	0.88	0.28	5	5	0.05	1.61	0.67	84	0.81		4.35	99.31			
20	22.65561	561	5.03	0.10	1	1	0.01	1.72	40	80	0.40						2.90	1.22	152	1.38		3.35	99.87		
21	20.16501	501	4.34	0.75	10	10	0.09	0.54	28	56	0.48	3.22	57	57	0.49	4.17	1.75	220	1.91			99.63	BeO—0.76 含 H ₂ O—0.26		
22	25.48632	632	5.61	0.11	1	1	0.07	1.04	58	116	1.27	3.81	68	68	0.60			?	0.08			100.44	含 H ₂ O—0.18		

(二) 金云母类

金云母之化学成分及其结晶化学计算见表6。所分析之样品除21号产于白色条纹岩内之香花石-云母脉中，与香花石密切共生外，余皆产于绿色条纹岩中。将各种氧化物之重量百分比按氧原子为24计算出各元素之原子数后，得出金云母之分子式如表7。根据其分子式及物理光学性质，可肯定条纹岩中之云母为金云母（绿色条纹岩中之宽大云母脉除外），以前所谓之黑鳞云母大部分即此金云母之误，特在此更正。

表 7

编 号	名 称	化 学 分 子 式
17	金云母	$(K_{1.70}Na_{0.07})_{1.86}(Mg_{5.77}Fe_{0.23})_{6.05}(OH, F)_{3.92}Si_{5.11}Al_{2.95}O_{21.62}$ $K_{1.80}Mg_{6.05}(OH, F)_{3.92}Si_{5.11}Al_{2.95}O_{21.62}$ $KMg_{3.25}(OH, F)_{2.10}Si_{2.75}Al_{1.43}O_{11.17}$ $K_2Mg_{6.5}(OH, F)_{4.2}Si_{5.5}Al_{2.86}O_{22.97}$ $\equiv K_2Mg_6(OH, F)_4(Si_{5.5}Al_{0.5})_6Al_2O_{20}$
18	金云母	$(K_{1.95}Na_{0.09})_{2.04}(Mg_{5.44}Fe_{0.88})_{5.77}(OH, F)_{4.12}Si_{5.25}Al_{3.78}O_{22.88}$ $K_{2.04}Mg_{5.77}(OH, F)_{4.12}Si_{5.25}Al_{3.78}O_{22.88}$ $KMg_{2.83}(OH, F)_{2.01}Si_{2.57}Al_{1.89}O_{11.20}$ $K_2Mg_{5.66}(OH, F)_{4.02}Si_{5.14}Al_{3.64}O_{22.40}$ $K_2(Mg_{5.66}Al_{0.44})_6(OH, F)_{4.02}(Si_{5.14}Al_{0.86})_6Al_{2.34}O_{22.40}$ $\equiv KMg_6(OH, F)_4Si_6Al_2O_{20}$
19	金云母	$(K_{1.89}Na_{0.19})_{2.05}(Mg_{5.18}Fe_{0.52})_{5.70}(OH, F)_{2.50}Si_{5.84}Al_{2.77}O_{22.57}$ $K_{2.05}Mg_{5.70}(OH, F)_{2.50}Si_{5.84}Al_{2.77}O_{22.57}$ $KMg_{2.75}(OH, F)_{1.20}Si_{2.80}Al_{1.88}O_{10.84}$ $K_2Mg_{5.50}(OH, F)_{2.40}Si_{5.60}Al_{2.66}O_{21.69}$ $K_2(Mg_{5.5}Al_{0.5})_6(OH, F, O)_4(Si_{5.6}Al_{0.16})_{5.72}Al_2O_{20.09}$ $\equiv K_2Mg_6(OH, F)_4Si_6Al_2O_{20}$
20	金云母	$(K_{1.92}Na_{0.04})_{1.86}(Mg_{5.03}Fe_{0.89})_{5.42}(OH, F)_{1.80}Si_{5.28}Al_{3.51}O_{22.22}$ $K_{1.92}Mg_{5.42}(OH, F)_{1.80}Si_{5.28}Al_{3.51}O_{22.22}$ $KMg_{2.75}(OH, F)_{0.91}Si_{2.69}Al_{1.79}O_{11.89}$ $K_2Mg_{5.50}(OH, F)_{1.88}Si_{5.38}Al_{3.58}O_{22.68}$ $K_2(Mg_{5.5}Al_{0.5})_6(OH, F, O)_4(Si_{5.88}Al_{0.62})_{5.72}Al_2O_{20.45}$ $\equiv K_2Mg_6(OH, F)_4Si_6Al_2O_{20}$
21	金云母	$(K_{1.66}Na_{0.88})_{1.99}Mg_{4.34}Fe_{1.52}(OH, F)_{2.89}Si_{5.49}Al_{2.77}O_{20.97}$ $K_{1.99}Mg_{4.34}Fe_{1.52}(OH, F)_{2.39}Si_{5.49}Al_{2.77}O_{22.77}$ $KMg_{2.42}Fe_{0.76}(OH, F)_{1.20}Si_{2.76}Al_{1.89}O_{22.08}$ $K_2(Mg_{4.86}Fe_{1.52})_{6.88}(OH, F, O)_4(Si_{5.52}Al_{0.48})_6Al_{2.3}O_{20}$ $\equiv K_2(Mg, Fe)_6(OH, F)_4Si_6Al_2O_{20}$
22	金云母	$(K_{1.82}Na_{0.23})_{2.05}(Mg_{5.61}Fe_{0.53})_{6.18}(OH, F)_{1.97}Si_{5.89}Al_{2.57}O_{22.79}$ $K_{2.05}Mg_{6.18}(OH, F)_{1.97}Si_{5.89}Al_{2.57}O_{22.79}$ $KMg_{2.98}(OH, F)_{0.96}Si_{2.78}Al_{1.80}O_{11.12}$ $\equiv K_2Mg_{5.98}(OH, F, O)_4(Si_{5.56}Al_{0.44})_6Al_{2.16}O_{20}$ $\equiv K_2Mg_6(OH, F, O)_6Si_6Al_2O_{20}$

四、物理光学性质与化学成分間的关系

(一) 锂云母类

由图5可清楚地看到，随着氧化亚铁含量的增加， N_g 呈現有規律的增大（图5），而光軸角的大小則正与 FeO 含量的增高成反比(图6)。即光軸角愈大，FeO 的含量愈低，光軸角愈小，FeO 的含量愈高。而随着 Li_2O 含量的增高，折光率 N_g 与光軸角則分別向相反的方向变化，即 Li_2O 含量愈高， N_g 值愈小(图7)，光軸角愈大(图8)。

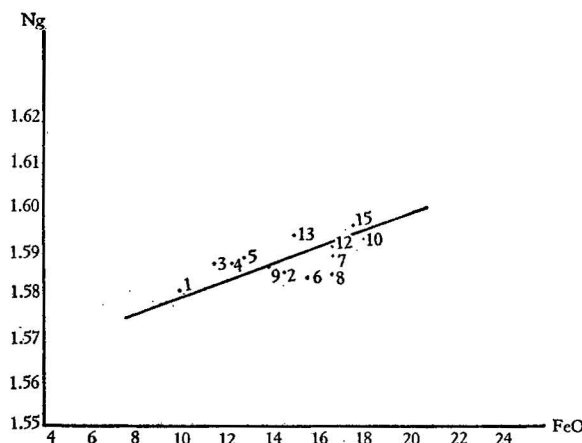


图5 锂云母类 FeO 含量与折光率 N_g 关系图

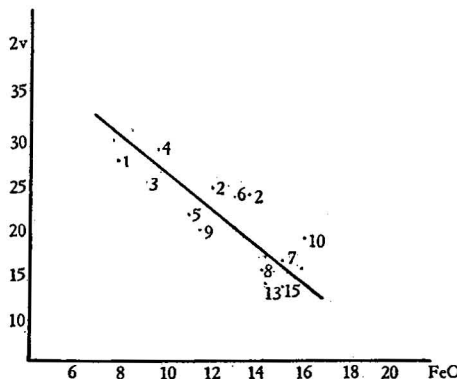


图6 锂云母类的光轴角与 FeO 含量关系图

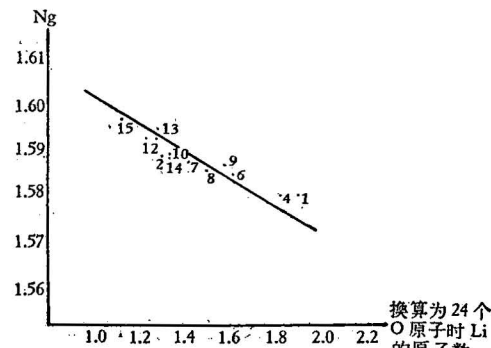


图7 锂云母类的折光率 N_g 与 Li_2O 含量关系图

根据以上数据可以看出，锂云母类的光学性质决定于它的化学成分，而首先决定于它的 Fe 及 Li 的含量。一般說來，在黑云母—黑鱗云母—鐵鋰云母—鋰云母系列中，其光学性质将随着 (Fe, Mg) 含量的減少及 Li 含量的增加而发生有規律的变化，例如：黑鱗云母的光軸角一般不超过 5° — 7° ；鐵鋰云母的光軸角为 20° — 30° ，鋰云母(成分中已基本无鐵)的光軸角則为 40° — 50° 。黑云母的 $N_g = 1.600 \pm$ ，黑鱗云母的 $N_g = 1.590 \pm$ ，鐵鋰云母的 $N_g = 1.580 \pm$ ，鋰云母的 N_g 則等于 $1.556 \pm$ 。而本区锂云母类的光学性质

与化学成分之間的关系亦正符合于这一規律,因此,按照光軸角及 N_g 很可以对本区的锂云母类进行种类的划分。

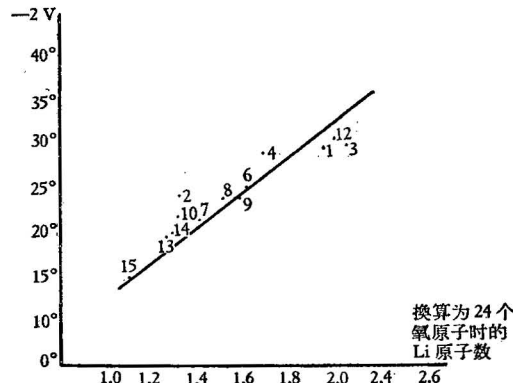


图 8 锂云母类的光轴角与 Li₂O 含量关系图

(二) 金 云 母

本区金云母的化学成分与物理光学性质之间的关系,由于所测样品不多,各样品的成分及物理光学性质变化不甚明显,因此,二者的关系不易追寻。但从 21 号金云母中 FeO 含量较高, N_g 与光轴角亦随之增加的现象看来,亦似符合以上规律。

五、X 光 资 料*

(一) 锂·云·母·类

本区之锂云母类,曾按不同类型选取代表性样品进行 X 光分析,获得粉末照相数据如表 8。

从表 8 中可以看出,3、10 及 63A 号样品之 X 射线谱均较接近而略有差别,三者之间的差别,目前用反射线 016 来探索,此线的间距 $d(kX)$ 值,63A 为 3.311kX, 10 号为 3.293 kX, 3 号为 2.291 kX。结合化学成分看,若亦考虑 FeO 与 Li₂O 的关系,可看出:

63A 之 FeO 含量为 17.98% Li₂O 含量为 2.61%

编号 10 之 FeO 含量为 17.10% Li₂O 含量为 2.79%

编号 3 之 FeO 含量为 11.38% Li₂O 含量为 3.50%

Fe⁺⁺ 的离子半径为 0.83 kX, Li⁺ 的离子半径为 0.78 kX。

锂云母类属单斜晶系,晶面间距 $d(kX)$ 值与单胞参数 (a, b, c) 成正比,即单胞参数愈大,晶面间距愈大。 Fe^{++} 的离子半径较 Li^+ 的离子半径为大,因而 Fe^{++} 含量愈多, Li^+ 的含量愈少,晶胞愈大,晶面间距亦愈大,以致 63A 比 10 号的晶面间距为大,比 3 号的更大。

因此,由 X 光分析资料证明,随着 Li^+ 对 Fe^{++} 的类质同象的置换作用,发生了晶面

* X 光资料系地质部地质科学研究院唐自强供给。

表 8

編 号 3		編 号 10		63 A *		參 考 資 料 鐵鋰云母 Zinnwaldite ^[21]	
d (kX)	I/I_0	d (kX)	I/I_0	d (kX)	I/I_0	d (kX)	I/I_0
9.856	100	9.945	100	9.889	100	10.00	100
4.514	20	4.543	10	4.531	15	4.57	20
3.853	15	3.841	20	3.849	10		
3.621	50	3.624	40	3.588	40		
3.291	100	3.293	100	3.311	100	3.34	100
3.068	60	3.091	50	3.096	50	3.14	20
2.874	70	2.876	80	2.881	60	2.89	20
2.657	20	2.659	痕	2.671	20		
2.576	80	2.599	80	2.603	80	2.62	80
2.466	20	2.467	40	2.470	30	2.48	40
2.397	40	2.397	10	2.400	50	2.43	80
2.246	10	2.257	50	2.289	20		
2.133	40	2.144	50	2.146	60	2.18	80
1.970	90	1.970	90	1.977	90	2.00	80
1.922	5			1.917	25		
1.877	10	1.889	10				
1.804	10	1.825	5	1.823	10		
1.718	10	1.716	10	1.732	10		
1.641	90(寬)	1.644	90(寬)	1.651	90(寬)	1.67	80
1.590	10	1.595	10				
1.550	10	1.553	10			1.54	80B
1.513	70	1.520	70	1.519	80		
1.449	15	1.450	10	1.459	10	1.47	20
1.408	15	1.410	10	1.421	15	1.43	20
1.370	10	1.370	10	1.380	10		
1.334	40(寬)	1.344	40(寬)	1.349	60(寬)	1.36	60
1.308	15	1.315	15	1.318	10		
1.287	30(寬)	1.289	20(寬)	1.294	25(寬)	1.30	40

* 本号样品因分析数字误差较大故未列出，但由其大致组分关系及物理光学性质可定为铁锂云母。

間距的变化，而由于晶面間距的变化亦可相对推知鋰云母类化学成分的变化。

(二) 金 云 母

金云母的X光粉末照相数据见表9。

六、鋰云母类的产状与物理光学性质間的关系

綜合整个花崗岩中之云母看来，在地势低洼，花崗岩被切割較深的地方，亦即在較新鮮的花崗岩体中所出現之云母，基本上为变質較輕，尚不失其本性之黑云母，其顏色為褐黑色，在显微鏡下表現了多色性較弱，顏色較浅(但較鋰云母类为深)的与标准黑云母不甚一致的特异現象(見图9)。此时，花崗岩之主要造岩矿物为半自形之正长石，奥长石，他形的石英及半自形片状黑云母等，而黃玉的含量甚微。随着花崗岩云英岩化的逐步加深，

表 9

编 号 19		编 号 21 (?)		参 考 资 料 [4]			
				金 云 母		金 云 母	
d (kX)	I/I_0	d (kX)	I/I_0	d (kX)	I/I_0	d (kX)	I/I_0
10.00	100					10.00	100
4.57	20					5.02	20
4.20	10					4.57	40
3.80	15					3.67	40
3.65	30	3.64	10	3.69	60	3.67	40
3.35	100	3.35	100	3.36	100	3.35	100
3.15	60	3.15	20	3.14	60	3.13	20
2.91	70	2.90	18	2.909	80	2.89	20
				(2.277)	40		
2.63	80	2.62	90	2.615	80	2.62	80
2.51	10	2.52	40	2.515	80	2.51	40
2.48	60						
2.42	70	2.42	40	2.425	80	2.435	80
2.35	5	2.30	8				
2.27	10(宽)					2.280	20
2.17	90	2.17	80	2.17	100	2.175	80
1.99	100	2.00	100	2.006	100	1.998	80
1.90	20	1.92	15	2.190	20	1.906	20
1.83	5	1.84	4	(1.841)	40		
1.73	10	1.74	10	1.741	20	1.742	20
				(1.688)	20		
1.664	100	1.67	90	1.670	100	1.669	80
1.64	5			1.643	10		
1.59	10			(1.576)	10		
1.565	10						
1.530	100	1.54	90	1.531	100	1.533	80
				(1.503)	40		
1.470	10	1.48	10	1.470	20	1.475	20
1.430	30	1.43	3	(1.434)	20	1.432	20
1.390	15	1.39	3	1.397	10		
1.358	100	1.36	85	1.362	100	1.358	60
1.320	25	1.32	60(宽)	1.324	60	1.333	20
1.305	50			1.307	60	1.305	40
1.265	10	1.26	20(宽)	(1.265)	10		
1.258	50			1.258	40		
1.218	30	1.21	15	1.219	60		
1.190	5	1.19	10				
1.170	5	1.13	40				
1.130	60	1.08	10				
		1.06	40				
		1.04	30				

在薄片中即可看到云母的颜色及多色性逐渐变浅变弱,光轴角逐渐变大的现象(图10),此时,正长石与奥长石之含量相应减少,而石英、钠长石、黄玉等则分别随之增多。至花岗岩

顶部，可看到花崗岩几全部云英岩化的現象，此时，云母的数量反次于石英，而大大多于长石，黃玉之含量亦达到最高点，局部地区，并見有鈉长石相应增多。云母之物理光学性質亦随之而变，顏色与多色性更弱，光軸角更大(图11)，即已全部变为锂云母类。

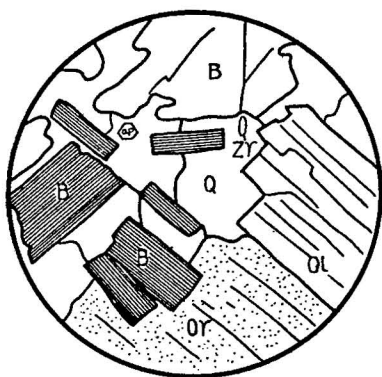


图 9 軽微蚀变花崗岩之鏡下觀察(//偏光)



图 10 蚀变程度較深花崗岩之鏡下觀察(//偏光)

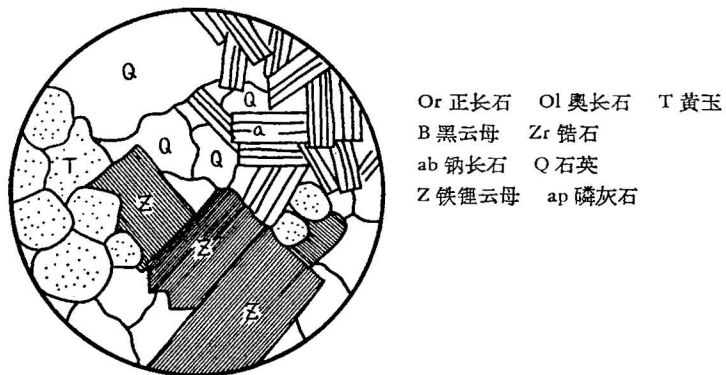


图 11 云英岩化程度更深时的花崗岩的鏡下觀察(//偏光)

結論

1. 本矿区的锂云母类，按其化学成分及物理光学性质可分为六种类型，即：

- ① 铁锂云母 $K_4Fe_3''Li_4Al_4[Si_{14}Al_2O_{40}](O,OH,F)_8$
- ② 铁锂云母 $K_4Fe_4''Li_3Al_4[Si_{13}Al_3O_{40}](O,OH,F)_8$
- ③ 黑鳞-铁锂云母 $K_4Fe_5''(Li_{2.5}Al_{1.5})_4Al_3[Si_{13}Al_3O_{40}](O,OH,F)_8$
- ④ 黑鳞-铁锂云母 $K_4Fe_4''(Li_{2.5}Al_{0.5})_3Al_4[Si_{12}Al_4O_{40}](O,OH,F)_8$
- ⑤ 黑鳞云母 $K_4Fe_5''Li_2Al_4[Si_{12}Al_4O_{40}](O,OH,F)_8$
- ⑥ 黑鳞云母 $K_4(Fe,Mg)_8Li_2Al_2[Si_{12}Al_4O_{40}](O,OH,F)_8$

第①②③类分布在花崗岩云英岩化部分，④类分布在与泥盆紀白云质灰岩接触的花崗岩中，⑤类分布在花崗岩与灰岩之接触带中，⑥类则为綠色条紋岩中之寬大云母脉，而

以第②类为主。

2. 本矿区的锂云母类，在化学成分上的特点是：FeO 含量较高，随着 FeO 的减少，Li₂O 有相应的增加。这说明本花岗岩中原始的云母应为含铁较高的种类，推測应为黑云母。由黑云母轉变为锂云母类的过程是：当花岗岩生成后，残浆中的 Li、F 形成 LiF 的形态上升，对原始黑云母进行了交代置换作用，以 R'' → (Li + Al) 的形式逐步将原始黑云母中的 R'' (Fe, Mg……) 置換成 (Li, Al)，而由于 (LiAl) 与 R'' 的电价不同，当作用进行时，必須有价的补偿；根据过去一系列的科学的研究証明，这种价的补偿将由 Si 对部分 Al 的置換来完成。

結合地質情况，亦可得出同样結論，即本矿区的花崗岩属燕山期，而中国南部时代較新的花崗岩一般为黑云母花崗岩，同时，前已述及，在該花崗岩下部，切割較深的断面上，仍可看到較新鮮的黑云母，因而可推知本区的锂云母类应由黑云母轉变而成。

3. 随着 FeO 的减少及 Li₂O 的增加，锂云母类的物理光学性质发生規律性的变化：即 FeO 含量愈低，Li₂O 含量愈高，光軸角愈大，折光率与比重愈小，顏色愈浅，因此，利用云母的物理光学性质，可大致估計其化学成分。

4. 在鐵锂云母，黑鱗-鐵锂云母与黑鱗云母的名称下，应当理解为：它不是具有一定量化学成分的矿物，而是在其构造式中 Li 与 R'' 在一定范围内可相互置換的一种由黑云母向锂云母轉变时的过渡型云母，因此它的物理光学性质亦不十分固定，而在一定范围内变动。

5. 随着花崗岩云英岩化程度的加深，黑云母逐漸向锂云母过渡，除物理光学性质发生变化外，其产出形态及共生矿物亦随之发生变动，即随着云英岩化的深入，云母的共生矿物将由正长石、奥长石、石英等等变为石英、黃玉、鈉长石等，証明了花崗岩生成后，残浆中的 Li, F 等上升，交代了长石及黑云母等，生成了黃玉、鈉长石及锂云母类。

6. 綠色条紋矽卡岩中呈細小脉状或散染状产出之綠色云母，过去亦称之为黑鱗云母，此次研究証明为金云母之誤。

工作中曾得到孟宪民先生的指导。化学分析由地質科学研究院矿床研究所化驗室完成，X 光粉晶分析为唐自強所作，在此一并致謝。

参 考 文 献

- [1] Winchell, A. N. 1942. Further studies of the lepidolite system. Am. Min. 27, p. 130.
- [2] Гинзбург А. И. и Берхин С. И. 1955. О составе и химический конституций литиевых слюд. Тр. Минер. Музея. АН СССР. вып. 7.
- [3] [4] Михеев В. И. 1957 Рентгенометрический определитель минералов, p. 779, p. 776—777. М. Госгеолтехиздат.
- [5] Гинзбург А. И. 1955 Об изоморфных замещениях в литиевых слюд. Тр. Минер. Музея, АН СССР, вып. 7 (?).
- [6] Гинзбург А. И. 1957 Некоторые особенности геохимии лития. Тр. Менер. Музея. вып. 8, p. 29—42.

A STUDY ON MICAS IN ASSOCIATION WITH GREISENIZED GRANITE AND SKARN

HUANG YUN-HUI DU SHOU-HUA CHAO CHUEN-LIN

Abstract

The micas, which are in association with the greisenized granite and skarn, were previously described as lepidolite and protolithionite. According to the present detailed investigations, the variety determined as lepidolite in greisenized granite should be zinnwaldite. protolith-zinnwaldite and the variety determined as "protolithionite" in skarn is actually the phlogopite with the exception of the variety, occurring as veins, which is of protolithionite or protolith-zinnwaldite.

These lithium bearing micas may be ascertained to consist of six species based on their chemical and physico-optical properties:

1. Zinnwaldite $K_4Fe_3''Li_4Al_4[Si_{14}Al_2O_{40}]$ (O, OH, F)₈
2. Zinnwaldite $K_4Fe_4''Li_3Al_4[Si_{13}Al_3O_{40}]$ (O, OH, F)₈
3. Protolith-Zinnwaldite $K_4Fe_5''(Li_{2.5}Al_{1.5})_4Al_3[Si_{13}Al_3O_{40}]$ (O, OH, F)₈
4. Protolith-Zinnwaldite $K_4Fe_5''(Li_{2.5}Al_{0.5})_3Al_4[Si_{12}Al_4O_{40}]$ (O, OH, F)₈
5. Protolithionite $K_4Fe_5''Li_2Al_4[Si_{12}Al_4O_{40}]$ (O, OH, F)₈
6. Protolithionite $K_4(Fe, Mg)_8Li_2Al_2[Si_{12}Al_4O_{40}]$ (O, OH, F)₈

Species 1, 2 and 3 occur in the greisenized granite; species 4 occurs along the contact of the granite with the skarn; species 5 and 6 occur in skarn (as veins); species 2. Zinnwaldite, is of wider occurrence.

The higher content of FeO and the increase of Li₂O with decreasing FeO are the chemical characteristics of the Li-Micas. These phenomena show that the original mica in granite might be rich in Fe, and probably a biotite. The process of biotite converting to Li-micas is suggested as follows: As soon as the granite had been formed, Li and F in the residual magma were combined to form LiF. In turn, during the ascension of LiF, the biotite, already formed, was replaced. In accordance with the form R'' (Li + Al), the R'' (Fe, Mg.....) of biotite was replaced by Li, Al gradually. Because of the difference in valence between (Li, Al) and R'', there must be a supplement during replacement, and this supplement for valence would be furnished by Si to replace a part of Al.

The result of the geological survey also indicates that the original mica is a biotite. Since the granite of this region belongs to the Yenshan period, which is generally biotite granite in South China.

The physico-optical properties of Li-micas show a regular change with the decrease of FeO and the increase of Li₂O. The lower the FeO and the higher the Li₂O, the larger the optical axial angle, the smaller the refractive indices and specific gravity and the lighter the colour. Therefore, we can utilize the physico-optical characteristics of the micas to evaluate its chemical compositions approximately.